

сообщения  
объединенного  
института  
ядерных  
исследований  
дубна

3545/82

2/viii-82

13-82-254

В.П.Зрелов, В.П.Лупильцев, И.В.Мирохин

+

ИЗМЕРЕНИЯ ЭНЕРГИИ  
ВЫВЕДЕННОГО ПРОТОННОГО ПУЧКА  
( $\sim 1$  ГЭВ)  
ОТ УСКОРИТЕЛЯ ЛИЯФ (ГАТЧИНА)  
ЧЕРЕНКОВСКИМ МЕТОДОМ  
ДВОЙНЫХ ОТРАЖЕНИЙ

1982

## I. ВВЕДЕНИЕ

Простой черенковский метод <sup>/1/</sup>, или метод двойных отражений измерения средней энергии был опробован <sup>/2/</sup> на пучке протонов (~ 640 МэВ) от синхроциклотрона Лаборатории ядерных проблем ОИЯИ.

С целью проверки работоспособности метода при более высоких энергиях был изготовлен и испытан вариант прибора для исследований на пучке протонов (~ 1 ГэВ) гатчинского синхроцикло-трана ЛИЯФ.

## II.. УСЛОВИЯ ЭКСПЕРИМЕНТА

1. Схема эксперимента приведена на рис.1. Пучок протонов с энергией ~ 1 ГэВ, выведенный из камеры ускорителя, проходил в воздухе последовательно фокусирующую секцию магнитного канала, тройку магнитных линз, формирующий щелевой коллиматор, дублет магнитных линз и с помощью отклоняющего магнита поворачивался на угол 9° 40' и направлялся в коллиматор длиной 4,5 метра. На входе коллиматор имел диаметр  $D_1 = 12 \text{ мм}$  /  $L_1 = 1,5 \text{ м}$  / и на выходе -  $D_2 = 5 \text{ мм}$  /  $L_2 = 1,0 \text{ м}$ /. Черенковский прибор располагался непосредственно за бетонной защитой на выходе коллиматора. В этих условиях интенсивность пучка составляла  $\sim 10^9$  протонов/с.

2. Схема /и принцип работы/ прибора повторяет выбранную ранее /рис.2/. Частицы со скоростью  $\beta_0$  направляются по нормали ко входной зеркальной грани III призмы-радиатора с абсолютным показателем преломления  $n_0$  для длины волны  $\lambda_0$ . Излучение Вавилова-Черенкова /ИВЧ/, возникшее в призме, выводилось через грани I и II и регистрировалось двумя фотоаппаратами "Зенит-Е" с объективами "Гелиос-40" /с  $f = 8,5 \text{ см}$ /, установленными на бесконечность. Причем в фотоаппарат I попадало как прямое, так и дважды отраженное ИВЧ. Углы выхода ИВЧ /например, через грань I / прямого -  $r_1$  и дважды отраженного -  $r_2$  связаны с углом  $\theta_0(\lambda) = \arccos[n_0(\lambda)\beta]^{-1}$  выражением, приведенным в работе <sup>/1/</sup>:

$$\theta_0 = \alpha_2 \pm \arcsin \frac{1}{n'_0} \sqrt{\frac{\sin^2 \frac{r_1 + r_2}{2} - n_0^2 \tan^2 \frac{r_1 + r_2}{2} \sin^2(\alpha_2 - \alpha_1)}{\cos^2(\alpha_2 - \alpha_1) - \tan^2 \frac{r_1 + r_2}{2} \sin^2(\alpha_2 - \alpha_1)}}^{1/2} \quad /1/$$

где  $n'_0 = \frac{n_0}{n_1}$  - относительный показатель преломления призмы,

Таблица 1

$\lambda, \text{ нм}$	$n(\lambda)$	$\lambda, \text{ нм}$	$n(\lambda)$
404,7	1,46955	546,1	1,46020
407,8	1,46924	577,0	1,45898
435,8	1,46671	579,0	1,45887
491,6	1,46292		

Экстраполяционная формула для показателей преломления в измеренном диапазоне длин волн имеет вид:

$$n(\lambda) = 1,44816 + \frac{3,69103 \cdot 10^{-3}}{\lambda^2} - \frac{3,09715 \cdot 10^{-5}}{\lambda^4}, \quad /2/$$

где  $\lambda$  - в мкм. Точность определения  $n$  по формуле /2/ составляет  $\Delta n = \pm 4 \cdot 10^{-5}$ . Для средних длин волн пропускания использовавшихся интерференционных фильтров /для нормального падения лучей относительные показатели преломления  $n'_0$  призмы-радиатора приведены в табл.2.

Таблица 2

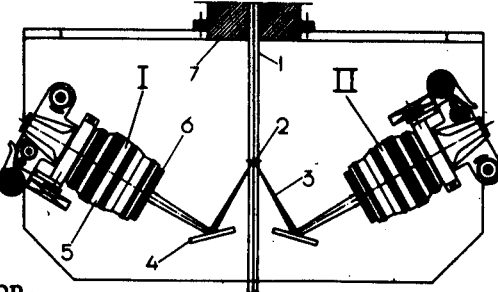
Фотоаппарат	$\bar{\lambda}, \text{ нм}$	$n'_0$ при $t=20^\circ\text{C}$	$n_1$ воздуха при $t=20^\circ\text{C}$
I	605,9	1,457985	1,000272
II	601,3	1,458132	1,000272

Ширина призмы в основании  $b = 9,4$  мм, а ее высота - 20 мм.

### III. РЕЗУЛЬТАТЫ ИЗМЕРЕНИЙ

1. Средняя энергия. При экспонировании устройства, показанного на рис.3, на пучке протонов ~ 1 ГэВ были получены изображения ИВЧ, зарегистрированные фотоаппаратами I и II и показан-

Рис.3. Общий вид прибора:  
1 - пучок протонов с энергией 1 ГэВ; 2 - призма-радиатор; 3 - ИВЧ; 4 - плоское зеркало; 5 - фотоаппарат "Зенит-Е" с объективом "Гелиос-40" /1:1,5,  $f = 85$  мм/; 6 - интерференционный фильтр; 7 - коллиматор.



$\alpha_1$  и  $\alpha_2$  - углы при основании призмы. Поскольку в данном приборе углы  $\alpha_1$  и  $\alpha_2 > \theta$ , то при вычислениях  $\theta_0$  в формуле /1/ перед корнем брался знак  $/-$ . Для уменьшения ошибок измерений угла  $\theta_0$  перед объективами "Гелиос-40" располагались интерференционные фильтры с полосой пропускания  $\Delta\lambda \sim 10$  нм для  $\lambda_0 \sim 600$  нм, использовавшиеся ранее /8/. Оптические оси объективов ориентировались по нормали к выходным граням I и II призмы-радиатора. ИВЧ регистрировалось на кинопленке КН-3 с чувствительностью 130 ед. ГОСТ.



Рис.1. Тракт пучка протонов, выведенного из синхроциклотрона на энергию 1 ГэВ ЛИЯФ: 1 - вакуумная камера ускорителя; 2 - фокусирующая секция магнитного канала; 3 - тройплет магнитных линз; 4 - щелевой коллиматор; 5 - дублет магнитных линз; 6 - отклоняющий магнит с вакуумной камерой /7/; 8 - входной и выходной коллиматоры; 9 - место расположения черенковского прибора; 10 - защита ускорителя; 11 - пучок протонов.

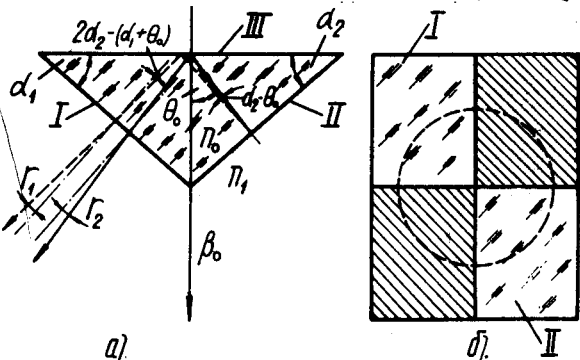


Рис.2. Принцип работы черенковского устройства:  
а/ ход лучей в призме-радиаторе; б/ вид на призму против пучка /штриховкой показаны зеркальные части граней, а пунктиром - профиль пучка частиц/.

3. Параметры призмы-радиатора. Углы  $\alpha_1$  и  $\alpha_2$  при основании призмы измерялись с помощью гoniометра ГС-5 /с точностью  $\pm 5''$ / и получились равными:  $\alpha_1 = 40^\circ 30' 10''$  и  $\alpha_2 = 40^\circ 29' 13''$ . Призма-радиатор была изготовлена из плавленного кварца со значениями относительных показателей преломления, приведенными в табл.1 для  $t = 20^\circ\text{C}$ .

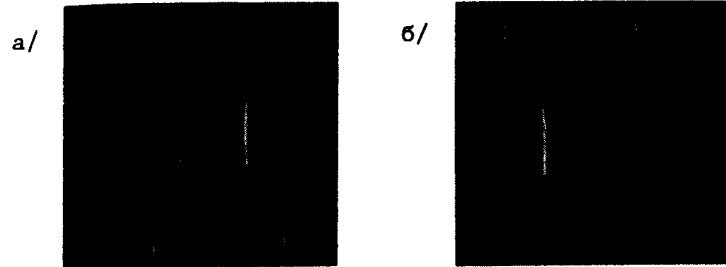


Рис.4. Негативные изображения ИВЧ, зарегистрированные прибором, показанным на рис.3: а/ от фотоаппарата I; б/ от фотоаппарата II.

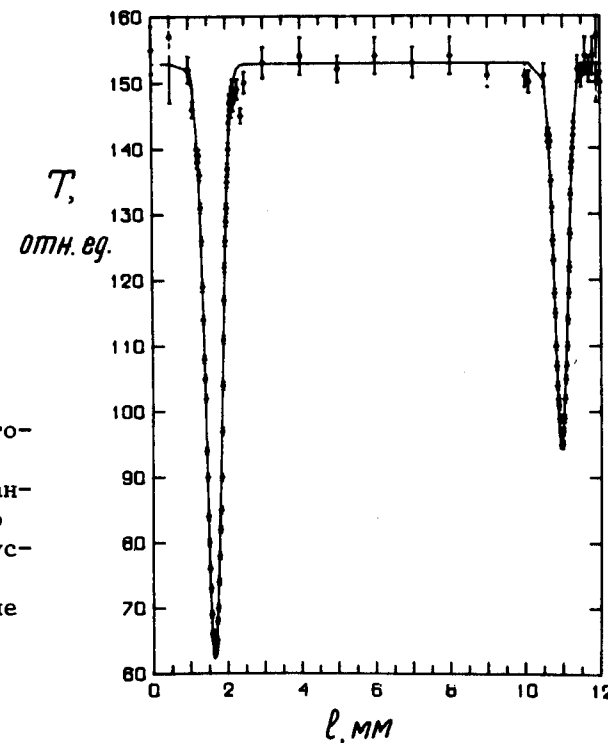


Рис.5. Типичная фотометрическая кривая изображений, показанных на рис.4а,б; по оси ординат – пропускание  $T$ , а по оси абсцисс – расстояние между "дугами" ИВЧ в мм.

ные на рис.4. Взаимное расположение "дуг" ИВЧ /от прямого и дважды отраженного ИВЧ/ характерно для углов испускания ИВЧ  $\theta < \alpha$ . Среднее расстояние между "дугами" определялось путем фотометрирования на быстродействующем микрофотометре II /Карл Цейсс, Иена/ черенковских изображений в направлении, перпендикулярном к их оси симметрии. Точность измерения расстояний составляла  $\pm 0,01$  мм. Типичная фотометрическая кривая показана

на рис.5. Для определения наименьшего расстояния между "дугами" на каждом кадре проводилось несколько измерений на различных высотах через 1 мм. Результаты этих измерений аппроксимировались параболой по методу наименьших квадратов, и отыскивался ее минимум. В соответствии с калибровкой объективов "Гелиос-40", т.е. определением соотношения между линейной и угловой мерами в их фокальных плоскостях, определялся угол  $\frac{r_1 + r_2}{2}$ , входящий в формулу 1/. При подстановке величин  $a_1$  и  $a_2$ ,  $\frac{r_1^2 + r_2^2}{2}$  и  $n_0$  из табл.2 по этой же формуле определялся угол  $\theta_0$  ИВЧ в призме. Из соотношения  $\sin \theta_0 = \frac{1}{n_0 \beta}$ , где  $n_0$  – абсолютный показатель преломления, находилась средняя скорость протонов в центре призмы –  $\beta_0$  и соответствующая ей кинетическая энергия протонов  $T = m_p(y-1)$ , где  $m_p$  – масса покоя протона, принимавшаяся равной 938,2529 МэВ, а  $y = (1 - \beta^2)^{-\frac{1}{2}}$ .

Зависимость средней энергии  $T$  от наименьшего расстояния между "дугами" ИВЧ для фотоаппаратов I и II показана на рис.6. Отметим, что вблизи энергии  $T = 1$  ГэВ  $\Delta T / \Delta l \approx 20$  МэВ/мм.

## 2. Ошибки измерений энергии простым методом просуммированы в табл.3.

Суммарная среднеквадратичная ошибка определения средней энергии  $\Delta T = \sqrt{\sum \Delta T_i^2}$  с учетом всех перечисленных выше факто-

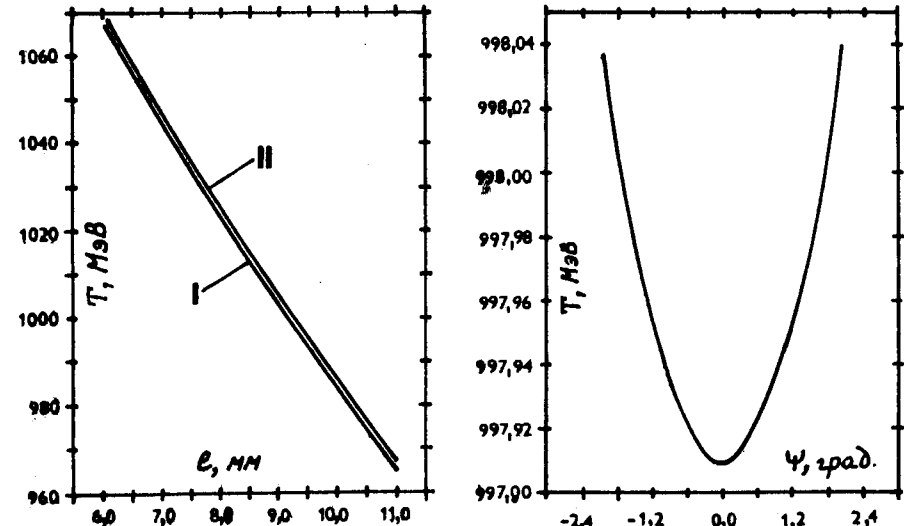


Рис.6. Зависимости средней энергии протонов  $T$  от наименьшего расстояния между "дугами" ИВЧ для фотоаппаратов I и II.

Рис.7. Сдвиг энергии  $\Delta E$  в зависимости от угла отклонения частиц пучка от нормали ко входной грани призмы-радиатора.

ров не превышала  $\pm 1,3$  МэВ. При регистрации ИВЧ обоими фотоаппаратами средняя энергия вычислялась как

$$\bar{T} \pm \Delta T = \frac{\left(\frac{1}{\Delta T_1}\right)^2 \cdot T_1 + \left(\frac{1}{\Delta T_2}\right)^2 \cdot T_2}{\left(\frac{1}{\Delta T_1}\right)^2 + \left(\frac{1}{\Delta T_2}\right)^2} \pm \frac{1}{\sqrt{\left(\frac{1}{\Delta T_1}\right)^2 + \left(\frac{1}{\Delta T_2}\right)^2}}, \quad /3/$$

где  $T_1$  и  $T_2$  - средние энергии, определенные при регистрации ИВЧ фотоаппаратами I и II, а  $\Delta T_1$  и  $\Delta T_2$  - соответствующие им ошибки. Средняя ошибка в этом случае составляла  $\Delta T = 0,9$  МэВ / $\Delta\beta = 1,23 \cdot 10^{-4}$ /.

Кроме указанных в табл.3 ошибок измерений, анализировалось также влияние отклонения направления входа частиц от нормали ко входной грани призмы на точность определения энергии. В работе /1/ указывалось, что этот метод нечувствителен к такого рода неопределенностям. Однако при прецизионных измерениях важно знать допустимые отклонения углов наклона частиц  $\Delta\psi$  при заданной точности измерения энергии частиц. Поэтому были проведены соответствующие расчеты для параметров данного прибора, результаты которых показаны на рис.7. Из рисунка видно, что при  $\psi \leq 0,5^\circ$  величина сдвига  $\Delta E$  не превосходит 0,016 МэВ. Как правило, при выполнении предварительной юстировки входной грани призмы-радиатора к оси коллиматора, формирующего пучок, величина  $\psi$  не превосходит вышеуказанной.

Измерения средней энергии выведенного пучка протонов от ускорителя ЛИЯФ АН СССР простым черенковским методом выполня-

Таблица 3

№ п/п	Ошибка	Величина	$\Delta T_i$ , МэВ
1.	Измерения углов $\alpha_1$ и $\alpha_2$ призмы-радиатора, $\Delta\alpha$	$\pm 5''$	$\pm 0,13$
2.	Измерения показателей преломления призмы-радиатора, $\Delta n$	$\pm 4 \cdot 10^{-6}$	$\pm 0,17$
3.	Неопределенность показателя преломления воздуха, $\Delta n_B$	$\pm 5 \cdot 10^{-6}$	$\pm 0,032$
4.	Калибровка объективов, $\Delta C$ , с/мм	$\pm 3$ с/мм	$\pm 0,24$
5.	Определение минимального расстояния между "дугами" ИВЧ $\Delta S$ , мм	$\pm 0,06$	$\pm 1,22$
6.	Неопределенность в угле падения ИВЧ на интерференционный фильтр, $\Delta\phi = \pm 1^\circ$ ( $\Delta\lambda = \pm 10\text{ \AA}$ )	$\pm 3,3 \cdot 10^{-5}$	$\pm 0,14$

лись несколько раз на протяжении двух лет /1977-1979 гг./. Сводные данные этих измерений представлены в табл.4.

Интересно сравнить полученные результаты измерений с данными работы /6/ /рис.8/, где определение средней энергии производилось путем сравнения времен пролета протонов и света на определенной базе. В пределах ошибок измерений данные настоящей работы /экспозиция от 21.01.1979 г./ находятся в согласии с результатами /6/. Необходимо отметить и колебания средней энергии протонов в пределах до 4 МэВ, что, по-видимому, обусловлено в основном различиями в размещении элементов и параметров тракта выведения и формирования пучка.

В заключение необходимо сказать о разрешающей способности прибора. Из рис.5 видно, что полная ширина на полуысоте пика ИВЧ составляет  $\sim 20$  МэВ. Собственное разрешение устройства определяется факторами, приведенными в табл.5, и составляет  $\approx 12$  МэВ.

Остальные 16 МэВ от экспериментальной ширины обусловлены такими параметрами пучка протонов, как его угловая расходимость и энергетическая неоднородность. Однако разделить эти факторы не представляется возможным из-за неопределенности в угловой расходимости пучка /так, например, геометрическая расходимость, оцененная из размеров отверстий и длины исполь-

Таблица 4

Дата измерений	Средняя энергия, МэВ		
	в центре призмы	перед призмой*	на выходе из камеры ускорителя **
14.11.1977 г.	1000,86	1001,50	1006,55
	1001,46	1002,10	1007,15
16.12.1978 г.	1001,78	1002,42	1007,47
	1001,98	10002,62	1007,67
21.01.1979 г.	998,33	998,97	1004,02
	997,70	998,34	1003,39
	998,58	999,22	1004,27
	998,50	999,14	1004,19

\*Эти величины получены с учетом замедления протонов 1 ГэВ в призме-радиаторе из  $\text{SiO}_2$  на половине ее эффективной толщины  $\bar{t}/2 = 0,34$  г/см<sup>2</sup> и данных по ионизационным потерям /4/ ( $\Delta E_1 = 0,64$  МэВ).

\*\*Величины получены с учетом замедления протонов в воздухе ( $\frac{\Delta E}{\Delta x} = 1,96$  МэВ см<sup>2</sup>/г) на длине 20 м /  $\Delta E_2 = 5,05$  МэВ/.

Таблица 5

# п/п	Фактор уширения	$\Delta\theta_i$ , мин	$\Delta E_i$ , МэВ
1.	Многократное рассеяние	+4'	+5,9
2.	Замедление протонов в призме-радиаторе	-	+0,32
3.	Ширина интерференционного фильтра $/\pm 50 \text{ \AA} /$	-	+0,72

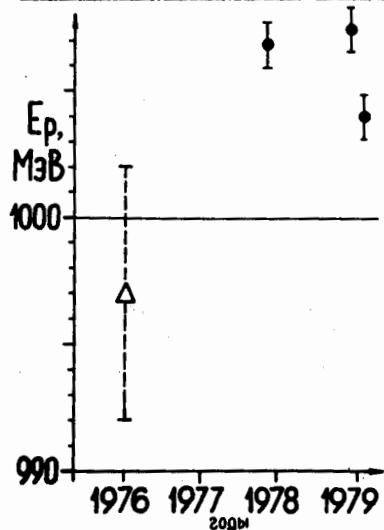


Рис.8. Результаты измерений энергии выведенного пучка протонов от синхроциклотрона ЛИЯФ АН СССР/г. Гатчина/, о - данные настоящей работы, Δ - данные работы /6/.

зованного коллиматора, составляет 13,1', или 19,4 МэВ, что превосходит ширину, приходящуюся на оба фактора/.

За содействие в выполнении данной работы авторы благодарны члену-корреспонденту АН СССР В.П.Джелепову и Л.М.Онищенко;

за помощь в проведении сеансов работы на ускорителе ЛИЯФ - сотрудникам этого института М.М.Козлову, С.П.Круглову, Е.А.Дамаскинскому, В.А.Гордееву, В.П.Коптеву, С.М.Микиртычьянцу, Л.А.Кузьмину, а также сотрудникам ОИЯИ Я.Ружичке, М.Ф.Шабашову, В.С.Надеждину, В.В.Ермакову и Р.В.Столупиной.

## ЛИТЕРАТУРА

1. Zrelov V.P. Nucl. Instr. and Meth., 1974, vol.115, p.457.
2. Zrelov V.P., Lupiltsev V.P., Shabashov M.F. Nucl. Instr. and Meth., 1976, vol.134, p.437.
3. Зрелов В.П. и др. ОИЯИ, Р13-5636, Дубна, 1971.
4. Studies in Penetration of Charged Particles in Matter. Publ.1133. Nation.Acad.Sc., W., 1964.
5. Денисов А.С. и др. Препринт ЛИЯФ №261, Л., 1976.

Рукопись поступила в издательский отдел  
5 апреля 1982 года.